

Starkniederschlagshöhen und -spenden gemäß KOSTRA-DWD-2020

Rasterfeld 107137

(Zeile 107, Spalte 137)

Regenspende und Bemessungsniederschlagswerte in Abhängigkeit von Wiederkehrzeit T und Dauerstufe D

| Dauerstufe D | | Wiederkehrzeit T | | | | | | | | | | | | | | | | | |
|--------------|-----|------------------|------------|------|------------|------|------------|------|------------|------|------------|-------|------------|-------|------------|-------|------------|-------|------------|
| | | 1 a | | 2 a | | 3 a | | 5 a | | 10 a | | 20 a | | 30 a | | 50 a | | 100 a | |
| min | Std | mm | l / (s ha) | mm | l / (s ha) | mm | l / (s ha) | mm | l / (s ha) | mm | l / (s ha) | mm | l / (s ha) | mm | l / (s ha) | mm | l / (s ha) | mm | l / (s ha) |
| 5 | | 6,5 | 216,7 | 8,0 | 266,7 | 8,9 | 296,7 | 10,0 | 333,3 | 11,7 | 390,0 | 13,5 | 450,0 | 14,6 | 486,7 | 16,1 | 536,7 | 18,3 | 610,0 |
| 10 | | 8,6 | 143,3 | 10,5 | 175,0 | 11,7 | 195,0 | 13,2 | 220,0 | 15,5 | 258,3 | 17,8 | 296,7 | 19,3 | 321,7 | 21,2 | 353,3 | 24,1 | 401,7 |
| 15 | | 9,9 | 110,0 | 12,1 | 134,4 | 13,4 | 148,9 | 15,2 | 168,9 | 17,8 | 197,8 | 20,4 | 226,7 | 22,1 | 245,6 | 24,4 | 271,1 | 27,7 | 307,8 |
| 20 | | 10,9 | 90,8 | 13,2 | 110,0 | 14,7 | 122,5 | 16,7 | 139,2 | 19,5 | 162,5 | 22,4 | 186,7 | 24,3 | 202,5 | 26,7 | 222,5 | 30,3 | 252,5 |
| 30 | | 12,2 | 67,8 | 14,9 | 82,8 | 16,6 | 92,2 | 18,8 | 104,4 | 22,0 | 122,2 | 25,2 | 140,0 | 27,4 | 152,2 | 30,2 | 167,8 | 34,2 | 190,0 |
| 45 | | 13,7 | 50,7 | 16,7 | 61,9 | 18,6 | 68,9 | 21,1 | 78,1 | 24,6 | 91,1 | 28,3 | 104,8 | 30,7 | 113,7 | 33,8 | 125,2 | 38,3 | 141,9 |
| 60 | 1 | 14,8 | 41,1 | 18,1 | 50,3 | 20,1 | 55,8 | 22,8 | 63,3 | 26,6 | 73,9 | 30,6 | 85,0 | 33,2 | 92,2 | 36,6 | 101,7 | 41,4 | 115,0 |
| 90 | 1,5 | 16,5 | 30,6 | 20,2 | 37,4 | 22,4 | 41,5 | 25,4 | 47,0 | 29,6 | 54,8 | 34,0 | 63,0 | 36,9 | 68,3 | 40,7 | 75,4 | 46,1 | 85,4 |
| 120 | 2 | 17,8 | 24,7 | 21,7 | 30,1 | 24,1 | 33,5 | 27,3 | 37,9 | 31,9 | 44,3 | 36,7 | 51,0 | 39,8 | 55,3 | 43,8 | 60,8 | 49,7 | 69,0 |
| 180 | 3 | 19,7 | 18,2 | 24,1 | 22,3 | 26,8 | 24,8 | 30,3 | 28,1 | 35,4 | 32,8 | 40,7 | 37,7 | 44,1 | 40,8 | 48,6 | 45,0 | 55,1 | 51,0 |
| 240 | 4 | 21,2 | 14,7 | 25,9 | 18,0 | 28,8 | 20,0 | 32,6 | 22,6 | 38,1 | 26,5 | 43,8 | 30,4 | 47,5 | 33,0 | 52,3 | 36,3 | 59,3 | 41,2 |
| 360 | 6 | 23,5 | 10,9 | 28,7 | 13,3 | 31,9 | 14,8 | 36,1 | 16,7 | 42,2 | 19,5 | 48,4 | 22,4 | 52,5 | 24,3 | 57,9 | 26,8 | 65,6 | 30,4 |
| 540 | 9 | 26,0 | 8,0 | 31,7 | 9,8 | 35,3 | 10,9 | 40,0 | 12,3 | 46,7 | 14,4 | 53,6 | 16,5 | 58,1 | 17,9 | 64,1 | 19,8 | 72,6 | 22,4 |
| 720 | 12 | 27,9 | 6,5 | 34,1 | 7,9 | 37,9 | 8,8 | 42,9 | 9,9 | 50,1 | 11,6 | 57,6 | 13,3 | 62,5 | 14,5 | 68,8 | 15,9 | 78,0 | 18,1 |
| 1080 | 18 | 30,9 | 4,8 | 37,7 | 5,8 | 41,9 | 6,5 | 47,5 | 7,3 | 55,4 | 8,5 | 63,7 | 9,8 | 69,1 | 10,7 | 76,1 | 11,7 | 86,3 | 13,3 |
| 1440 | 24 | 33,2 | 3,8 | 40,5 | 4,7 | 45,0 | 5,2 | 51,0 | 5,9 | 59,5 | 6,9 | 68,4 | 7,9 | 74,2 | 8,6 | 81,8 | 9,5 | 92,6 | 10,7 |
| 2880 | 48 | 39,4 | 2,3 | 48,1 | 2,8 | 53,4 | 3,1 | 60,5 | 3,5 | 70,7 | 4,1 | 81,2 | 4,7 | 88,0 | 5,1 | 97,0 | 5,6 | 109,9 | 6,4 |
| 4320 | 72 | 43,5 | 1,7 | 53,1 | 2,0 | 59,1 | 2,3 | 66,9 | 2,6 | 78,1 | 3,0 | 89,7 | 3,5 | 97,3 | 3,8 | 107,3 | 4,1 | 121,5 | 4,7 |
| 5760 | 96 | 46,7 | 1,4 | 57,0 | 1,6 | 63,4 | 1,8 | 71,8 | 2,1 | 83,9 | 2,4 | 96,3 | 2,8 | 104,5 | 3,0 | 115,2 | 3,3 | 130,5 | 3,8 |
| 7200 | 120 | 49,4 | 1,1 | 60,3 | 1,4 | 67,0 | 1,6 | 75,9 | 1,8 | 88,6 | 2,1 | 101,8 | 2,4 | 110,4 | 2,6 | 121,7 | 2,8 | 137,9 | 3,2 |
| 8640 | 144 | 51,7 | 1,0 | 63,1 | 1,2 | 70,1 | 1,4 | 79,4 | 1,5 | 92,7 | 1,8 | 106,5 | 2,1 | 115,5 | 2,2 | 127,3 | 2,5 | 144,2 | 2,8 |
| 10080 | 168 | 53,7 | 0,9 | 65,5 | 1,1 | 72,8 | 1,2 | 82,4 | 1,4 | 96,3 | 1,6 | 110,6 | 1,8 | 120,0 | 2,0 | 132,2 | 2,2 | 149,8 | 2,5 |

Starkniederschlagshöhen und -spenden gemäß KOSTRA-DWD-2020

Rasterfeld 107137

(Zeile 107, Spalte 137)

Örtliche Unsicherheiten in Abhängigkeit von Wiederkehrzeit T und Dauerstufe D

| Dauerstufe D | | Wiederkehrzeit T | | | | | | | | |
|--------------|-----|------------------|-----|-----|-----|------|------|------|------|-------|
| | | 1 a | 2 a | 3 a | 5 a | 10 a | 20 a | 30 a | 50 a | 100 a |
| min | Std | ± % | ± % | ± % | ± % | ± % | ± % | ± % | ± % | ± % |
| 5 | | 12 | 13 | 13 | 14 | 15 | 15 | 16 | 16 | 16 |
| 10 | | 14 | 15 | 16 | 17 | 18 | 19 | 19 | 20 | 20 |
| 15 | | 15 | 17 | 18 | 19 | 20 | 21 | 21 | 22 | 22 |
| 20 | | 16 | 18 | 19 | 20 | 21 | 22 | 22 | 23 | 24 |
| 30 | | 17 | 19 | 20 | 21 | 22 | 23 | 23 | 24 | 24 |
| 45 | | 17 | 19 | 20 | 21 | 22 | 23 | 23 | 24 | 25 |
| 60 | 1 | 16 | 19 | 20 | 21 | 22 | 23 | 23 | 24 | 24 |
| 90 | 1,5 | 16 | 18 | 19 | 20 | 21 | 22 | 23 | 23 | 24 |
| 120 | 2 | 15 | 17 | 18 | 19 | 20 | 21 | 22 | 22 | 23 |
| 180 | 3 | 14 | 16 | 17 | 18 | 19 | 20 | 21 | 21 | 22 |
| 240 | 4 | 13 | 15 | 16 | 17 | 19 | 20 | 20 | 21 | 21 |
| 360 | 6 | 12 | 14 | 15 | 16 | 17 | 18 | 19 | 19 | 20 |
| 540 | 9 | 12 | 13 | 14 | 15 | 16 | 17 | 18 | 18 | 19 |
| 720 | 12 | 11 | 13 | 14 | 15 | 16 | 17 | 17 | 18 | 18 |
| 1080 | 18 | 11 | 13 | 13 | 14 | 15 | 16 | 16 | 17 | 17 |
| 1440 | 24 | 11 | 12 | 13 | 14 | 15 | 15 | 16 | 16 | 17 |
| 2880 | 48 | 13 | 13 | 13 | 14 | 14 | 15 | 15 | 16 | 16 |
| 4320 | 72 | 14 | 14 | 14 | 14 | 15 | 15 | 15 | 16 | 16 |
| 5760 | 96 | 15 | 15 | 15 | 15 | 15 | 16 | 16 | 16 | 16 |
| 7200 | 120 | 16 | 16 | 15 | 16 | 16 | 16 | 16 | 16 | 17 |
| 8640 | 144 | 17 | 16 | 16 | 16 | 16 | 16 | 16 | 17 | 17 |
| 10080 | 168 | 17 | 17 | 17 | 17 | 17 | 17 | 17 | 17 | 17 |

Parameter für abweichende T und D

Lokationsparameter ξ (Xi)

15,17387988

Skalenparameter α (Alpha)

4,64909878

Formparameter κ (Kappa)

-0,1

1. Koutsoyiannis-Parameter θ (Theta)

0,02941401

2. Koutsoyiannis-Parameter η (Eta)

0,75331296

Parameter für dauerstufenübergreifende Extremwertschätzung nach KOUTSOYIANNIS et al. 1998.

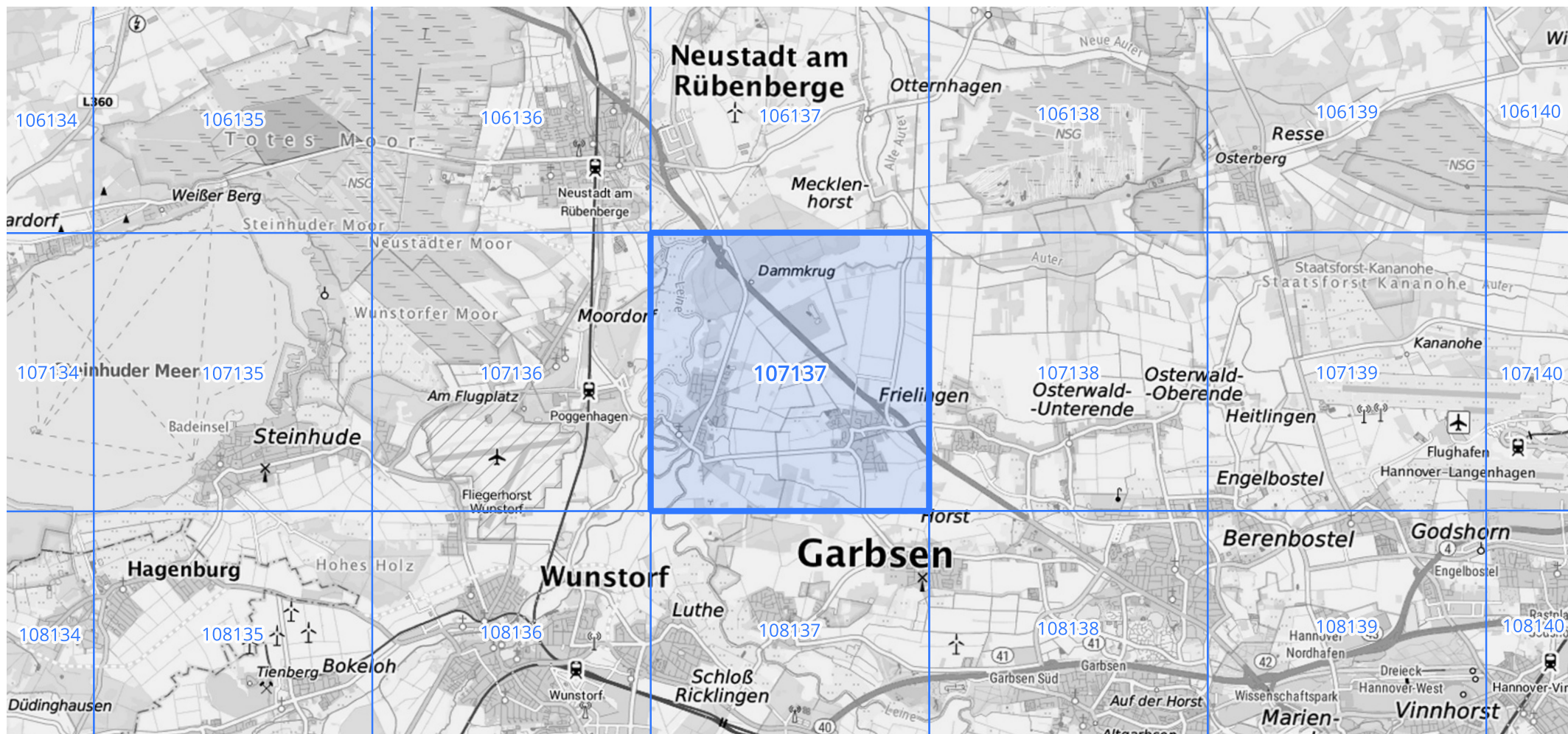
Siehe auch Anwendungshilfe zu KOSTRA-DWD-2020 des Deutschen Wetterdienstes.

Starkniederschlagshöhen und -spenden gemäß KOSTRA-DWD-2020

Rasterfeld 107137

(Zeile 107, Spalte 137)

Übersichtskarte des Rasterfeldes 107137, M 1 : 100 000



Quelle Rasterdaten: KOSTRA-DWD-2020 des Deutschen Wetterdienstes, Stand 12/2022.

Seite 3 von 3

Kartendarstellung: © Bundesamt für Kartographie und Geodäsie (2023), Datenquellen: https://sgx.geodatenzentrum.de/web_public/gdz/datenquellen/Datenquellen_TopPlusOpen.html

Für die Richtigkeit und Aktualität der Angaben wird keine Gewähr übernommen. Erstellt 01/2023.